

УДК 539.184 : 539.26

## К ВОПРОСУ О ВЛИЯНИИ 4f-ЭЛЕКТРОНОВ НА СТРУКТУРУ РЕНТГЕНОВСКИХ СПЕКТРОВ

В. Ф. Демёхин и Т. М. Полтинникова

Проведен расчет при промежуточной связи мультиплетной структуры, возникающей при эмиссионных переходах  $2p^64f^n \rightarrow 4d^94f^n$  для Gd, Tu и Yb при переходах  $2s^{14}f^n \rightarrow 4p^{54}f^n$  для Ce и Gd, а также при поглощении  $3d^{10}4f^7 \rightarrow 3d^94f^8$  для Gd. Результаты расчета хорошо согласуются с экспериментом. Показано, что вероятности переходов  $4p \rightarrow 2s$  и  $4d \rightarrow 2p$  с выбросом одного из 5s-, 5p-электрона слишком малы, для того чтобы дать заметный вклад в длинноволновую структуру эмиссионных полос.

В настоящей работе продолжается исследование природы мультиплетной структуры спектров  $L$ -серии редкоземельных элементов, начатое в работах [1-3]. В [1, 2] предположено, что особенности формы  $L_{\gamma_{1,9}}$ ,  $L_{\beta_{2,14}}$ ,  $L_{\alpha_{1,2}}$ ,  $L_{\beta,\beta'}$ -мультиплетов вызваны расщеплением конечных рентгеновских состояний, причиной которых является взаимодействие электронов внутренней незаполненной оболочки с 4f-электронами. Для оценки влияния 4f-электронов сделан приближенный расчет расщепления рентгеновских состояний, который позволил интерпретировать длинноволновые  $L_{\beta_2}$ - и  $L_{\gamma_1}$ -линии, как диаграммные, излучаемые при переходе 4d-электрона на 2p-уровень.

При исследовании  $L_{\gamma_{2,3}}$ -спектров [3] обнаружена их мультиплетная структура, для интерпретации которой привлечение взаимодействия 4p- и 4f-электронов не дало положительных результатов. Поэтому в [3] предположено, что длинноволновые  $L_{\gamma_{10,11}}$ -линии у элементов от Ba до Yb излучаются при переходе 4p-электрона в 2s-состояние с одновременным выбросом 5s-электрона, в то время как  $L_{\gamma_{2,3}}$ -линии излучаются при одномэлектронном переходе. На возможность такой интерпретации указывает наличие  $L_{\gamma_{10}}$ -линий у Ba и La, а также близкие значения энергий ионизации 5s-электрона и разности энергии между  $L_{\gamma_3}$ - и  $L_{\gamma_{10}}$ -линиями. Дальнейшие исследования требуют оценить вероятности подобных процессов, а для выяснения роли взаимодействия внутренних и 4f-электронов провести более точные расчеты.

### $L_{\gamma_{2,3}}$ - спектры

Для оценки вероятностей переходов с выбросом одного из внешних электронов использовалось приближение внезапных возмущений [4]. Предварительно методом самосогласованного поля Хартри рассчитаны волновые функции Sm и Dy в состояниях с вакансиями в 2p-, 2s-, 4p- и 4d-оболочках. Затем в соответствии с методом, описанным в работе [4], рассчитаны отношения вероятностей переходов  $4p - 2s$  и  $4d - 2p$  с выбросом 5s- или 5p-электрона к вероятностям соответствующих одноэлектронных переходов.

Полученные в результате относительные вероятности ( $0.001 \div 0.01$ ) слишком малы, для того чтобы объяснить излучением с выбросом 5s-электрона длинноволновые линии  $L_{\gamma_{10,11}}$ , имеющие относительную ин-

тенсивность  $\sim 0.3 \div 0.4$ . Одновременно получаем, что вклад переходов  $4d - 2p$  с выбросом  $5p$ -электрона в длинноволновую структуру  $L_{\gamma_{11}}$ ,  $L_{\beta_{14}}$ -полос должен быть незначителен.

Далее было проведено уточнение влияния взаимодействия  $4p$ - и  $4f$ -электронов на структуру обсуждаемых спектров. Для этого рассчитано расщепление  $4p^54f^1$ - и  $4p^54f^7$ -конфигураций соответственно для Ce и Gd. Расчет энергетического расщепления проводился в промежуточной связи. Для этого в схеме  $LS$ -связи найдены матричные элементы  $4f - 4f$  и  $4p - 4f$  кулоновского взаимодействия. Для Gd учитывалось взаимодействие термов  $^7P$ ,  $^5P$ ,  $^7D$ ,  $^5D$ , произошедших от термов  $^8S$ ,  $^6P$ ,  $^6D$  конфигурации  $4f^7$ . Затем матрица кулоновского взаимодействия дополнялась матричными элементами спин-орбитального взаимодействия. Для Ce найдено положение 11, а для Gd 36 уровней. Параметры спин-орбитального и кулоновского взаимодействий рассчитаны с помощью волновых функций [5].

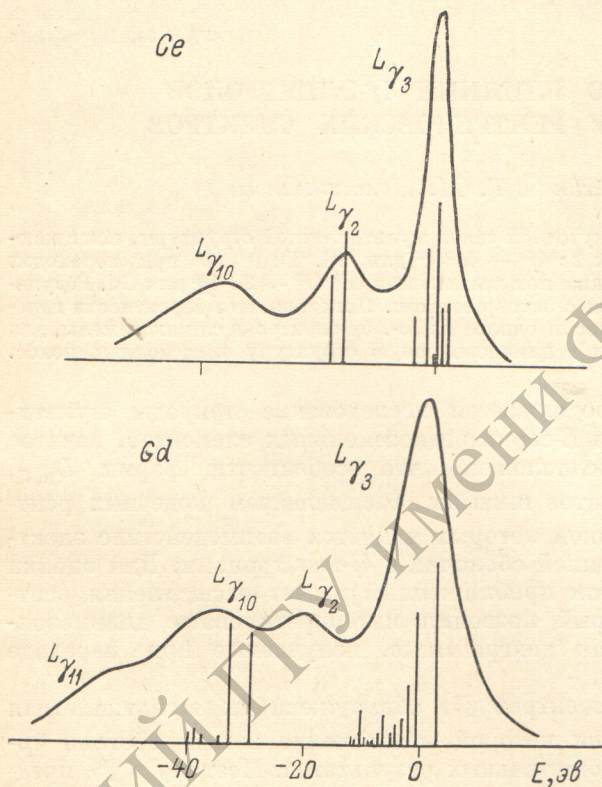


Рис. 1. Сопоставление  $L_{\gamma_3}$ -спектров Ce и Gd [3] с рассчитанной структурой мультиплетов, полученной при переходах  $2s'4f^n(LSJ) \leftarrow 2s^14f^n(J)$ .

Высота вертикальных линий пропорциональна вероятности перехода.

Как видно из рис. 1, теоретический спектр состоит из двух групп линий, энергетическое положение которых совпадает с положением  $L_{\gamma_2, \gamma_3}$ -линий для Ce и с положением  $L_{\gamma_3, \gamma_{10}}$  для Gd. Сравнение структуры функций при учете кулоновского взаимодействия со структурой функций чистой  $jj$ -связи конфигурации  $4p^54f^n$  позволяет утверждать, что для уровней конечной конфигурации и Ce и Gd, дающих наиболее яркие линии, сохраняется генеалогия  $jj$ -связи, и как следствие этого, длинноволновая группа линий может характеризоваться конечным состоянием  $4p^54f^n(J)$ , а коротковолновая —  $4p_{\gamma_2}^54f^n(J)$ . Таким образом,  $L_{\gamma_2}$ -,  $L_{\gamma_3}$ -линии Ce излучаются при переходе  $2s^14f^1 \leftarrow 4p^54f^1$ , в то время как длинноволновая  $L_{\gamma_{10}}$ -линия не может объясняться этим переходом. Для Gd переходам с уровней  $4p^54f^7$ -конфигурации следует поставить в соответствие линии  $L_{\gamma_3}$  и  $L_{\gamma_{10}}$ , а ранее считавшуюся диаграммной  $L_{\gamma_2}$  и обнаруженную в [3]  $L_{\gamma_{11}}$  считать недиаграммными линиями, природа которых неясна. Поскольку проведенные расчеты расщепления конфигурации  $4p^54f^n$  практически не содержат приближений, для интерпретации  $L_{\gamma_{10}}$  у Ce и  $L_{\gamma_2, 11}$

для элементов, близких к Gd, следует искать новые механизмы или провести более точные расчеты вероятностей выброса одного из внешних электронов.

### $L_{\gamma_1, 9}$ - и $L_{\beta_2, 14}$ -спектры

Применение методов, изложенных в [6, 7], позволило рассчитать форму  $L_{\gamma_1, 9}$ - и  $L_{\beta_2, 14}$ -спектров Gd, Ti и Yb. Для этого в схеме  $LS$ -связи рассчитаны энергии термов конфигурации  $4f^n$ , энергии термов конфигурации  $4d^94f^n$ , энергии недиагональных элементов кулоновского взаимодействия и энергии спин-орбитального взаимодействия. При этом для Gd не учитывались термы  $5D$ , число которых слишком велико, а влияние ожидается малым. Решение вековых уравнений дало значения энергий соответствующих уровней и функций, выраженные через функции  $LS$ -связи. Численные значения энергий мультиплетов конфигураций  $4d^94f^n$  получены с использованием параметров спин-орбитального взаимодействия  $\xi_{ad}$ ,  $\xi_{sf}$ , взятых из работы [5], и численных величин интегралов  $F_k$ ,  $G_k$ , рассчитанных по волновым функциям [5]. Параллельно проводился расчет со значениями  $F_k$  ( $4d - 4f$ ) и  $G_k$  ( $4d - 4f$ ), взятыми из работы [8]. В дальнейшем с экспериментом сравниваются результаты последнего расчета, так как в этом случае наблюдается лучшее согласие с экспериментом. Поскольку слабое кулоновское взаимодействие  $2p$ - и  $4f$ -электронов практически не смешивает уровни начальной конфигурации  $2p^54f^n$  при расчете вероятностей переходов между конфигурациями  $2p^54f^n \rightarrow 4d^94f^n$ , принято, что эти состояния можно считать получающимися при сложении  $j$   $2p$ -оболочки и  $J$  основного состояния конфигурации  $f^n$ . Вычисленные в схеме  $LS$ -связи амплитуды вероятностей перехода между уровнями конфигураций  $2p^54f^n$  и  $4d^94f^n$  позволили рассчитать вероятности переходов на уровни конфигурации  $4d^94f^n$  в промежуточной связи. При сопоставлении рассчитанной структуры мультиплетов, излучаемых при переходах между конфигурациями  $2p^54f^n(J)$  и  $4d^94f^n(J')$ , экспериментально полученные  $L_{\gamma_1, 9}$ - и  $L_{\beta_2, 14}$ -спектры приведены к единой энергетической шкале. Это осуществлялось путем вычитания разности энергий между  $L_{\text{II}}$ - и  $L_{\text{III}}$ -уровнями из энергии  $L_{\gamma_1}$ -линии. Разность энергий  $L_{\text{II}}$ -,  $L_{\text{III}}$ -уровней находилась по энергиям  $L_{\alpha_2}$ -,  $L_{\beta_1}$ -линий, взятым из таблиц [9].

Как видно из рис. 2, на котором проводится сопоставление результатов расчета и эксперимента, такая процедура приводит к существенному различию в положениях пиков  $L_{\beta_2}$ - и  $L_{\gamma_1}$ -линий. Из этого же рис. 2 видно, что расчет довольно хорошо передает взаимное расположение  $L_{\gamma}$ - и  $L_{\beta}$ -спектров и основные особенности их формы. Кроме этого, для Gd экспериментальные относительные интенсивности  $I_{L\beta_2}/I_{L\beta_1} = 5.5$  и  $I_{L\gamma_1}/I_{L\gamma_2} = 3.0$  близки к отношениям интенсивностей длинноволновой и коротковолновой частей мультиплетов, излучаемых при переходе на  $L_{\text{II}}$ - и  $L_{\text{III}}$ -уровни, которые соответственно равны 4.90 и 3.13.

Проведенный расчет показывает, что структура  $L_{\beta_2, 14}$ - и  $L_{\gamma_1, 9}$ -линий Gd, Ti и Yb безусловно определяется расщеплением конфигураций  $4d^94f^n$ , и на примере Gd и Ti видно, что расчет этого расщепления должен проводиться с учетом взаимодействия с высшими термами конфигурации  $4f^n$ . Если для Gd в структуре уровней еще просматривается слабая генеалогия  $LS$ -связи, то для Ti и Yb этого не наблюдается, а следовательно, все расчеты конфигураций  $4d^94f^n$  надо проводить в промежуточной связи.

Влияние  $4f$ -электронов, по-видимому, не сводится к мультиплетности только эмиссионных спектров. Так, мы предположили, что мультиплетность  $M_{\text{IV}, \text{V}}$ -спектров поглощения редкоземельных элементов, исследованных в [10], связана с расщеплением конечной конфигурации при переходах  $3d^{10}4f^n \rightarrow 3d^94f^{n+1}$ . Для проверки этого предположения рассчитана структура и вероятности переходов для мультиплетов, возникающих

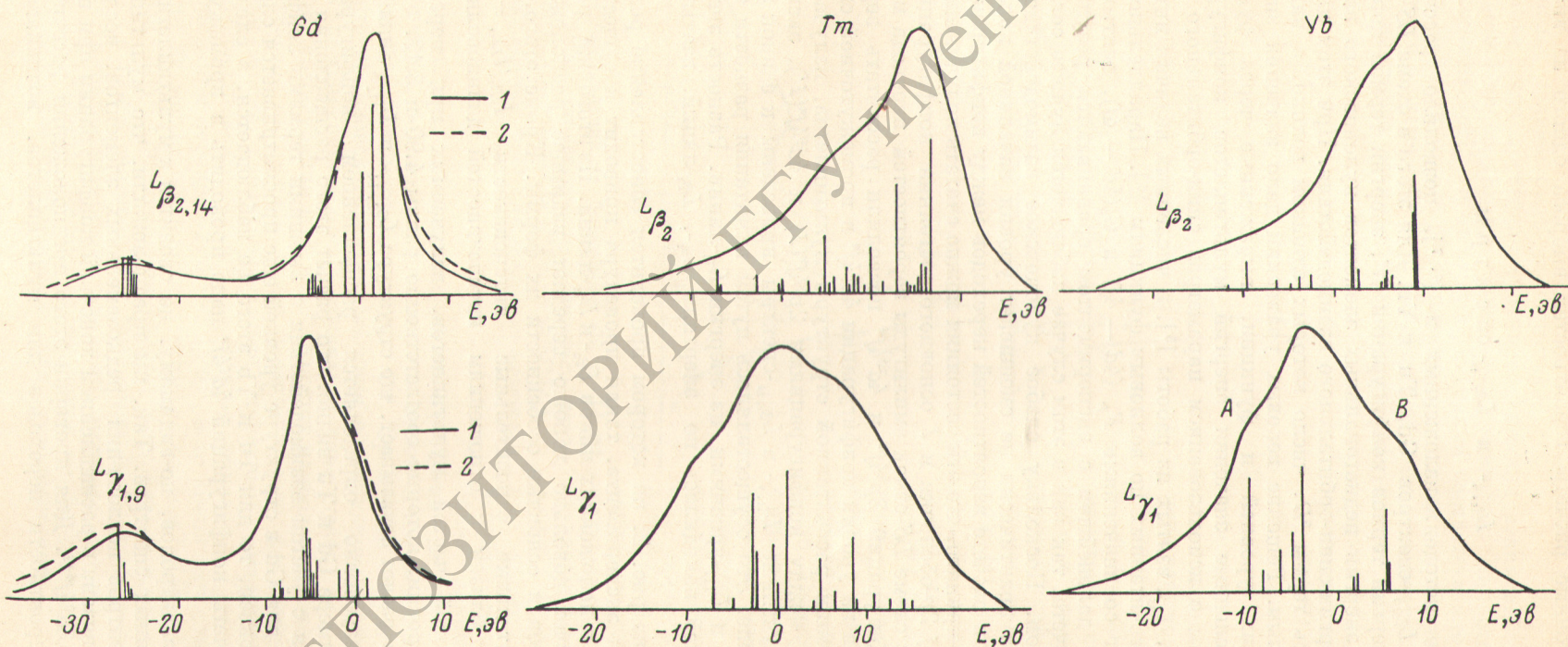


Рис. 2. Сопоставление  $L_{\beta_{2,14}}$ - и  $L_{\gamma_{1,9}}$ -спектров Cd, 1 — расчет, 2 — эксперимент, Ти и Yb [2] с рассчитанной структурой мультиплетов, полученных при переходах  $2p^{5}4f^n(J) \rightarrow 4d^94f^n(J')$ .  
Высота вертикальных линий пропорциональна вероятности перехода.

при переходе  $3d^{10}4f^7 \rightarrow 3d^94f^8$  для Gd. Результаты расчета сопоставлены на рис. 3 с экспериментальной кривой [10]. Это сопоставление позволяет утверждать, что первые три максимума поглощения на  $M_{V}$ - и два на

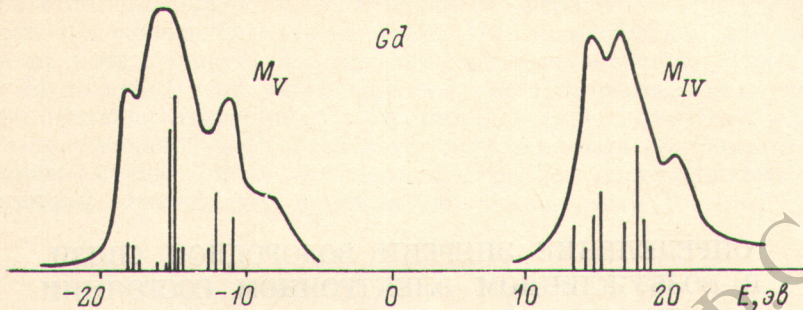


Рис. 3. Сопоставление  $M_{IV,V}$ -спектра поглощения Gd [10] с расчитанной структурой мультиплета, возникающего при переходе  $3d^{10}4f^7 \rightarrow 3d^94f^8$ .

$M_{IV}$ -спектрах вызваны расщеплением конфигурации  $3d^94f^8$ , в то время как коротковолновые максимумы, по-видимому, ответственны за поглощение в непрерывный спектр.

#### Литература

- [1] В. Ф. Демёхин. Изв. АН СССР, сер. физ., 36, 264, 1972.
- [2] В. Ф. Демёхин, А. И. Платков, М. В. Любива. ЖЭТФ, 62, 49, 1972.
- [3] В. Ф. Демёхин, А. И. Платков, В. Л. Сухоруков, Ю. И. Байрачный. Изв. АН СССР, сер. физ., 36, 352, 1972.
- [4] В. П. Саченко, В. Ф. Демёхин. ЖЭТФ, 49, 63, 765, 1965.
- [5] F. Hегман, S. Skillman. Atomic Structure Calculations. New Jersey, 1963.
- [6] Е. Кондон, Г. Шортли. Теория атомных спектров. ИЛ, 1949.
- [7] И. И. Собельман. Введение в теорию атомных спектров. Физматгиз, М., 1963.
- [8] J. Sugars. Phys. Rev. B, № 5, 1785, 1972.
- [9] Э. Е. Вайштейн, М. М. Кахана. Справочные таблицы по рентгеновской спектроскопии, 1953.
- [10] D. W. Fisher, W. L. Baun. J. Appl. Phys., 38, 4830, 1967.

Поступило в Редакцию 24 декабря 1972 г.